

**О ВЛИЯНИИ ПЕРЕМЕННОСТИ МОДУЛЯ УПРУГОСТИ НА ВЕЛИЧИНУ  
ТЕРМОУПРУГИХ НАПРЯЖЕНИЙ ПРИ ИМПУЛЬСНОМ НАГРЕВЕ СТЕРЖНЯ**

*B. M. Кульгавчук, A. A. Учаев*

(Москва)

При практическом использовании теплового удара в стержне с грузом на конец по методике [1] для изучения устойчивости стержня и динамического модуля упругости при повышенных температурах в определенных условиях необходимо учитывать влияние переменности модуля упругости на величину термоупругих сил. Рассмотрению этого вопроса посвящено данное сообщение.

Рассмотрим поведение упругого стержня длиной  $l$  массой  $m$ , закрепленного на одном конце  $x = 0$ , с сосредоточенной массой  $M$  на другом конце  $x = l$ , при быстром нагреве. Ввиду того что модуль упругости материала стержня зависит от температуры, которая в свою очередь будет функцией времени, в дальнейшем полагаем, что модуль упругости  $E = E(t)$  будет функцией времени.

Динамическое уравнение равновесия для массы  $M$  имеет вид

$$Mu'' + \sigma F = 0 \quad (1)$$

Здесь  $u$  — перемещение конца стержня с грузом  $M$  в осевом направлении,  $\sigma$  — продольные напряжения на этом конце,  $F$  — площадь поперечного сечения стержня, точка в позиции штриха означает дифференцирование по времени  $t$ .

Пренебрегая термоупругим взаимодействием и используя связь между напряжением и деформацией

$$\sigma(t) = E(t) [l^{-1}u(t) - \alpha T(t)] \quad (2)$$

где  $\alpha$  — коэффициент линейного расширения,  $T(t)$  — повышение температуры к моменту времени  $t$ , преобразуем уравнение равновесия к виду

$$Mu'' + E(t)Fl^{-1}u = E(t)F\alpha T(t) \quad (3)$$

Считаем, что стержень нагревается по длине и поперечному сечению равномерно и повышение его температуры можно выразить уравнением

$$T(t) = T_+ t / t^* \quad (0 \leq t \leq t^*), \quad T(t) = T_+ \quad (t > t^*) \quad (4)$$

Здесь  $T_+$  — максимальное повышение температуры,  $t^*$  — время нагрева. Ввиду того, что для многих материалов зависимость модуля упругости от температуры в широком интервале можно аппроксимировать линейной функцией [2], используя условие (4) представим эту зависимость в форме

$$E(t) = E_0 (1 - \lambda) t / t^* \quad (0 \leq t \leq t^*), \quad (\lambda = 1 - E_1 / E_0)$$

$$E(t) = E_1 \quad (t > t^*) \quad (5)$$

Здесь  $\lambda = 1 - E_1 / E_0$  — параметр,  $E_0$ ,  $E_1$  — модуль упругости при исходной температуре и после ее повышения на  $T_+$ .

Подставляя (4) и (5) в уравнение (3), получим

$$u'' + \omega^2 \eta u = \omega^2 \eta l \alpha T_+ t / t^* \quad (6)$$

$$\omega^2 = \frac{c}{l} \left( \frac{1}{\gamma} \right)^{1/2}, \quad c = \left( \frac{E_0}{\rho} \right)^{1/2}, \quad \gamma = \frac{m}{M}, \quad \eta = 1 - \lambda t / t^*$$

$\rho$  — плотность материала стержня

Решением однородного уравнения (6) будут функции [3]

$$u_1(t) = \eta^{1/2} J_{1/2} \left[ \frac{2}{3} \frac{\omega t^*}{\lambda} \eta^{3/2} \right], \quad u_2(t) = \eta^{1/2} Y_{1/2} \left[ \frac{2}{3} \frac{\omega t^*}{\lambda} \eta^{3/2} \right] \quad (7)$$

Здесь  $J_{1/2}(z)$  и  $Y_{1/2}(z)$  — бесселевы функции первого и второго рода.

При нулевых начальных данных перемещение и скорость движения  $u^*$  конца стержня  $x = l$  определяются выражениями для  $0 \leq t \leq t^*$

$$\begin{aligned} \frac{u(t)}{l\alpha T_+} &= \frac{\pi}{3\lambda} \eta^{1/2} [J_{1/3}(\beta) Y_{1/3}(\beta\eta^{3/2}) - Y_{1/3}(\beta) J_{1/3}(\beta\eta^{3/2})] + \frac{t}{t^*} \\ \frac{u^*(t)}{l\alpha T_+\omega} &= \frac{\pi}{3\lambda} \left[ \frac{1}{3\beta} \eta^{-1/2} (Y_{1/3}(\beta) J_{1/3}(\beta\eta^{3/2})) - J_{1/3}(\beta) Y_{1/3}(\beta\eta^{3/2}) + \right. \\ &\quad \left. + \eta (Y_{1/3}(\beta) J^*(\beta\eta^{3/2}) - J_{1/2}(\beta) Y_{1/3}(\beta\eta^{3/2})) + \frac{1}{\omega t^*} \right] \end{aligned} \quad (8)$$

для  $t > t^*$

$$\begin{aligned} \frac{u(t)}{l\alpha T_+} &= i + \frac{\pi}{3} \frac{\varphi^{1/2}}{\lambda} A \left[ i + \frac{1}{\varphi^2} \left( \frac{1}{1/2\pi\beta A} - \frac{\varphi^{-1/2}}{1/2\pi\beta A} \frac{J_{1/3}(\beta)}{J_{1/3}(\beta\varphi^{3/2})} - \right. \right. \\ &\quad \left. \left. - \varphi \frac{J_{-2/3}(\beta\varphi^{3/2})}{J_{1/3}(\beta\varphi^{3/2})} \right)^{2/3} \right] \sin [\omega_1(t - t^*) + \delta] \\ \frac{u^*(t)}{l\alpha T_+\omega_1} &= \frac{\pi}{3} \frac{\varphi^{1/2}}{\lambda} A \left[ 1 + \frac{1}{\varphi^2} \left( \frac{1}{1/2\pi\beta A} - \frac{\varphi^{-1/2}}{1/2\pi\beta A} \frac{J_{1/3}(\beta)}{J_{1/2}(\beta\varphi^{3/2})} - \right. \right. \\ &\quad \left. \left. - \varphi \frac{J_{-2/3}(\beta\varphi^{3/2})}{J_{1/2}(\beta\varphi^{3/2})} \right)^{2/3} \right] \cos [\omega_1(t - t^*) + \delta] \end{aligned} \quad (9)$$

Здесь

$$\begin{aligned} A &= [J_{1/3}(\beta) Y_{1/3}(\beta\varphi^{3/2}) - J_{1/3}(\beta\varphi^{3/2}) Y_{1/3}(\beta)] \quad (\varphi = 1 - \lambda) \\ \beta &= \frac{2}{3} \frac{\omega t^*}{\lambda}, \quad \omega_1 = \frac{c_1}{l}, \quad c_1 = \left( \frac{E_1}{\rho} \right)^{1/2}, \quad \operatorname{tg} \delta = \frac{u(t^*) - l\alpha T_+}{u^*(t^*) / \omega_1} \end{aligned}$$

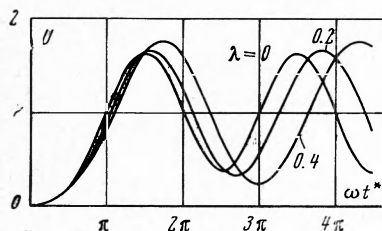
В формулах (9) значения  $u(t)^*$  и  $u^*(t^*)$  вычисляются согласно (8) при  $t = t^*$ . Термоупругие напряжения в стержне найдем, используя формулу (2) для  $0 \leq t \leq t^*$

$$\frac{\sigma(t)}{E_0 \alpha T_+} = \frac{\pi}{3\lambda} \eta^{3/2} [J_{1/3}(\beta) Y_{1/3}(\beta\eta^{3/2}) - J_{1/3}(\beta\eta^{3/2}) Y_{1/3}(\beta)] \quad (10)$$

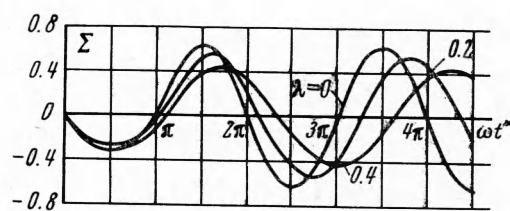
для  $t > t^*$

$$\begin{aligned} \frac{\sigma(t)}{E_0 \alpha T_+} &= \frac{\pi}{3\lambda} \varphi^{3/2} A \left[ 1 + \frac{1}{\varphi^2} \left( \frac{1}{1/2\pi\beta A} - \frac{\varphi^{-1/2}}{1/2\pi\beta A} \frac{J_{1/3}(\beta)}{J_{1/3}(\beta\varphi^{3/2})} - \right. \right. \\ &\quad \left. \left. - \varphi \frac{J_{-2/3}(\beta\varphi^{3/2})}{J_{1/3}(\beta\varphi^{3/2})} \right)^{2/3} \right] \sin [\omega_1(t - t^*) + \delta] \end{aligned} \quad (11)$$

Таким образом, перемещение конца стержня  $x = l$ , его скорость и напряжения в стержне при переменном модуле упругости полностью определяются (8) — (11).



Фиг. 1



Фиг. 2

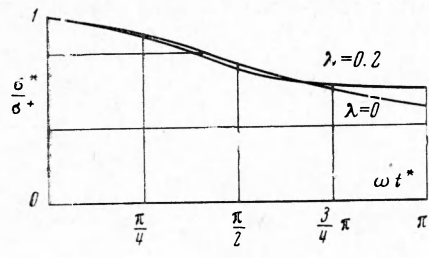
Рассмотрим предельный случай, когда время нарастания температуры  $t^*$  значительно меньше основного периода собственных колебаний стержня с грузом на конце

$2\pi/\omega$ . При этом в формуле (9)  $\beta \rightarrow 0$ . Используя представления функций Бесселя в виде ряда [4], ограничиваясь первым членом разложения при малых значениях аргумента, будем иметь

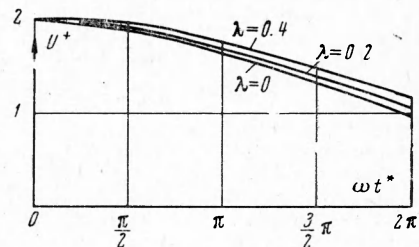
$$\frac{u(t)}{l\alpha T_+} = 1 - \cos \omega t, \quad \frac{\sigma(t)}{E_0 \alpha T_+} = \cos \omega t \quad (12)$$

Из выражения (12) вытекает, что в этом случае, как и следовало ожидать, частота собственных колебаний и максимальная амплитуда термоупругих напряжений определяются значением модуля упругости после нагрева на  $T_+$ . На фигурах здесь и дальше принятые обозначения  $U = u / l\alpha T_+$  и  $\Sigma = \sigma / E_0 \alpha T_+$ .

Влияние параметра  $\lambda$  и времени нагрева  $\omega t^*$  на перемещение конца стержня и напряжения в нем, в то время, когда колебания вынужденные (во время нагрева) и когда они свободные (после нагрева), можно видеть из фиг. 1 и 2, где приведены зависимости  $u(t)$  и  $\sigma(t)$  при  $\omega t^* = \pi$  и различных значениях параметра  $\lambda$ . С ростом  $\lambda$



Фиг. 3

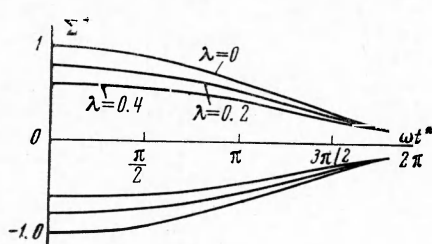


Фиг. 4

увеличивается период свободных колебаний; это объясняется уменьшением модуля упругости  $E$  при нагреве (см. соотношение (1) работы [1]). Напряжения сжатия во время нагрева имеют меньшую амплитуду, чем после него (фиг. 2). Для различных времен нагрева  $\omega t^*$  и параметра  $\lambda$  отношение максимального напряжения сжатия в первой четверти периода к максимальному напряжению сжатия после нагрева  $\sigma^* / \sigma^+$  представлены на фиг. 3.

На фиг. 4 и 5 приведены зависимости максимальных перемещений  $u^+$  и напряжения  $\sigma^+$  от времени нагрева  $\omega t^*$  и параметра  $\lambda$ . Из этих зависимостей видно, что при  $\omega t^* < 1/2\pi$  максимальные перемещения слабо зависят от параметра  $\lambda$ ; влияние  $\lambda$  на напряжения примерно пропорционально величине  $\lambda$ .

Анализ представленных на фиг. 1 и 2 данных показывает, что при времени нагрева, не превышающем четверти периода, расчет перемещений и термоупругих напряжений можно производить без большой погрешности, как для случая мгновенного нагрева с периодом свободных колебаний и модулем упругости, взятыми при максимальной температуре нагрева, т. е. по соотношению (12).



Фиг. 5

На фиг. 4 и 5 приведены зависимости максимальных перемещений  $u^+$  и напряжения  $\sigma^+$  от времени нагрева  $\omega t^*$  и параметра  $\lambda$ . Из этих зависимостей видно, что при  $\omega t^* < 1/2\pi$  максимальные перемещения слабо зависят от параметра  $\lambda$ ; влияние  $\lambda$  на напряжения примерно пропорционально величине  $\lambda$ .

Анализ представленных на фиг. 1 и 2 данных показывает, что при времени нагрева, не превышающем четверти периода, расчет перемещений и термоупругих напряжений можно производить без большой погрешности, как для случая мгновенного нагрева с периодом свободных колебаний и модулем упругости, взятыми при максимальной температуре нагрева, т. е. по соотношению (12).

Поступила 13 VIII 1968

#### ЛИТЕРАТУРА

- Кульгавчик В. М., Муханов А. П. Возбуждение продольных колебаний стержней при пропускании по ним импульсов электрического тока большой плотности. ПМТФ, 1967, № 3.
- Köster W. Die Temperaturabhängigkeit des Elastizitätsmodul reiner Metalle. Z. Metallkunde, 1948, Bd 39, Nr 1.
- Камке Э. Справочник по обыкновенным дифференциальным уравнениям, М., Физматгиз, 1961.
- Рыжик И. М., Градштейн И. С. Таблицы интегралов, сумм, рядов и произведений. М., Гостехиздат, 1951.